

九州大学工学部 学生会員○村井 大亨 井上 徹教 油島 栄蔵
九州大学工学部 正会員 中村 由行 小松 利光

1. 目的 水表面を通しての物質輸送量を定量的に評価することは、曝気装置の設計等工学的な問題に対して、また地球温暖化に関して大気海洋間の炭酸ガス交換率を正確に算定する上でも極めて重要である。しかしながら、物質交換メカニズムに関しては未だ不明な点が多く、輸送量を正確に予測・評価するまでには至っていない。その原因の一つは、濃度が急激に変化する領域がたかだか水表面下1mm程度のところであり、従来この領域の濃度を測定することは困難であったからである。そこで本実験では乱れをコントロールしやすく、かつ乱れの情報が得やすい振動格子乱流場を対象として、水槽内の乱れ特性、及び微小酸素電極を用いた水表面付近のDO濃度分布の詳細な測定を行った。

2. 内容 **2-1. 実験装置及び乱れの計測法** 本実験で用いた装置の概要を図1及び図2に示す。水槽は長さ200.0cm、高さ50.0cm、幅25.0cmのアクリル製で、角柱正方格子（メッシュサイズ $M = 4.418\text{ cm}$, 株幅 $d = 0.884\text{ cm}$, $M/d = 5.0$ ）を水槽底部から20.0cm上方に取り付け、これを鉛直に振動させることにより乱れを発生させた。乱れの強さは格子の振動数 $f(\text{Hz})$ によりコントロールし、乱流レイノルズ数 R_L は $R_L = 2us'L_\infty'$ により算出した。ここで us' , L_∞' は水表面における代表速度スケールおよび代表長さスケールで、当研究室の実験水槽の特性量としてそれぞれ $us' = 0.27\text{ f}$, $S^{1.5}M^{0.5}Zs^{-1}, L_\infty' = 0.132 Zs - 0.359$ により算出した。 ν は水の動粘性係数、Sは格子のストローク、 Zs は格子の振動の中心 ($Z = 0.0\text{ cm}$) から水表面までの距離である。本研究では全実験を通じて $Zs = 20.0\text{ cm}$ とした。また水槽内の水は水道水を用いた。表1に各実験条件を示す。乱れ (u', w') の計測にはFLV(Fiber Laser Velocimeter)を使用し、それを水槽と独立させたトラバース装置に取り付け、水平方向に走行させながら乱れの計測を行なった。

2-2. DO濃度境界層と濃度測定法 一般に、酸素のような溶解度の低い物質の水表面におけるガス交換は、液相側の乱流条件と水表面近傍特性によって支配されることが知られている。このことから液相を水表面近傍領域(Surface Influenced Layer)と、それ以外の領域(bulk領域)の二つに分けて考える必要がある。DO濃度分布に関してはSILはさらに、濃度が一様な領域と水表面極近傍の濃度境界層とに分けられる。

微小酸素電極(図2)を用いたDO濃度分布の測定では、振動格子水槽とは別の系に取り付けた電動シリンドラ(オリエンタル・モーター CPMS151B-05D)に電極を取り付けることによって鉛直

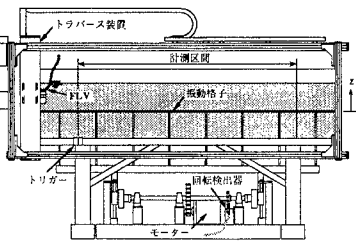


図1. 振動格子実験装置

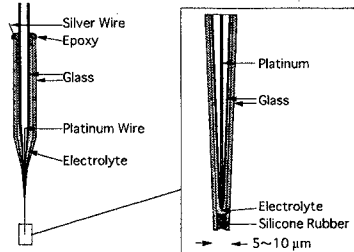


図2. 微小酸素電極

表1. 実験条件

測定番号	$f(\text{Hz})$	$S(\text{mm})$	$Zs(\text{mm})$	$L_\infty'(\text{mm})$	$u'_*(\text{mm/s})$	R_L	S_c	水温(℃)
No.1	6.0	60	200	26.0	25.0	1075	713	11.3 ~ 14.4
No.2	3.0	60	200	26.0	12.5	518	767	11.1 ~ 12.1
No.3	2.0	60	200	26.0	8.3	341	785	11.1 ~ 11.3
No.4	4.0	60	200	26.0	16.7	729	689	13.0 ~ 14.0
No.5	1.2	60	200	26.0	5.0	231	618	15.1 ~ 15.9

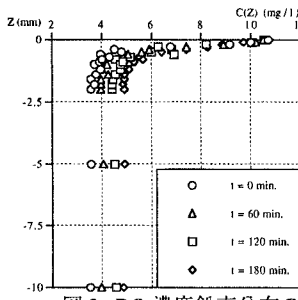
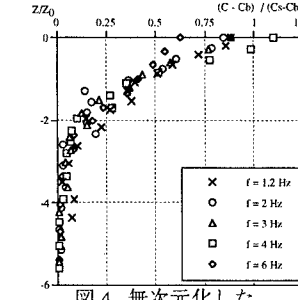
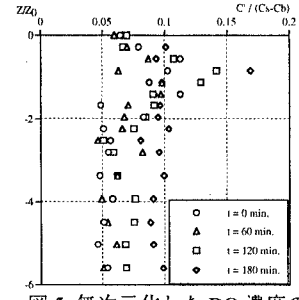
図3. DO濃度鉛直分布の時間変化($R_L = 729$)

図4. 無次元化したDO濃度の鉛直分布

図5. 無次元化したDO濃度の乱れ成分の鉛直分布($R_L = 729$)

キーワード：微小酸素電極、振動格子乱流、ガス交換、溶存酸素、濃度境界層

連絡先 : 福岡市東区箱崎 6-10-1 TEL 092-642-3281

方向にトラバースさせ、水表面下30mmまで、最小測定間隔 $\Delta z = 100\mu\text{m}$ で測定を行った。この測定を各振動条件に対して60~100分毎に行った。実験前には窒素バーピングを行い、水槽内のDO濃度を約2mg/lにした。

2-3. 実験結果及び考察 図3は振動条件が $R_L = 729$ のときのDO濃度の鉛直分布の時間変化を示したものである。この図から時間の経過とともに鉛直分布の勾配が減少していく様子が確認できる。図4,5は、それぞれ、無次元化したDO濃度の平均及び乱れ成分の鉛直分布である。なお水深 Z_0 は水表面を原点として鉛直向上きを正にとった座標で、次式を満たす定数 Z_0 で無次元化している。

$$(C - C_b) / (C_s - C_b) = \exp(Z / Z_0) \quad \dots \quad (1)$$

ここで、 C_s はDO飽和濃度、 C_b はbulkにおけるDO濃度である。図4によると、水深を Z_0 で無次元化することにより、振動条件が異なる場合にも鉛直分布がほぼ同一曲線上に並ぶことがわかる。また図5より乱れ成分の最大値は水表面より幾分下方($Z \sim -Z_0$)に存在することがわかる。

図6から、気体輸送係数 K_L が求められる。 K_L は水表面を通過するフラックスに関する次の微分方程式を解くことによって求まる。

$$dC_b / dt = (K_L / h)(C_s - C_b) \quad \dots \quad (2)$$

ここで、 h は水槽中の全水深である。式(2)を解くと、

$$\ln(C_s - C_b) = -K_L / h \times t + \text{const.} \quad \dots \quad (3)$$

が得られる。したがって図6のグラフの傾きから K_L を算出できる。

図7は様々な濃度境界層厚さ(Z_0, δ, L_D)を乱流レイノルズ数 R_L に対してプロットしたものである。ここで、 δ はLewis-Whitmanが定義した境膜厚さであり、また L_D は拡散境界層厚である。両者はそれぞれ $\delta = K_L / D, L_D = 2L_\infty R_L^{-0.5} S_c^{0.5}$ で表される。 D は分子拡散係数で、 S_c はSchmidt数と呼ばれ $S_c = \nu / D$ である。これによると各層厚はレイノルズ数の増加に伴い減少傾向にあることがわかる。また図中にはChu and Jirkaのデータをプロットしているが、彼らのデータと比較すると、 Z_0 を除いて本実験データと傾向がよく一致していることがわかる。

図8は上記の濃度境界層厚さを、水表面の代表長さスケールである L_∞' を用いて無次元化したものを、 $R_L^{-0.5} \times S_c^{-0.5}$ に対してプロットしたものである。この図によると各濃度境界層厚さは $R_L^{-0.5} \times S_c^{-0.5}$ に比例することがわかる。また、 Z_0 を K_L / u_s' で除いてChu and Jirkaのデータと傾向がよく一致していることがわかる。

図9は無次元ガス交換速度 K_L / u_s' を乱流レイノルズ数 R_L に対してプロットしたものである。この図によると K_L / u_s' は乱流レイノルズ数に依存し、 R_L がもつとも大きい点を除いて、ほぼ $R_L^{-0.5}$ に比例することがわかる。ただしChu and Jirkaの実験値より小さめである。これは S_c の違いによるものと考えられる。そこで、無次元ガス交換速度 K_L / u_s' を $R_L^{-0.5} \times S_c^{-0.5}$ に対してプロットしたものが図10である。large eddyがガス交換機構に対して支配的であるという仮定から半経験的に次式が導かれている。

$$K_L / u_s' = \beta R_L^{-0.5} \times S_c^{-0.5} \quad \dots \quad (4)$$

図10から、本実験データは上式によく一致することが確認できる。このことから、本実験範囲内ではガス交換はlarge eddyにより支配されていると考えられる。

3. 結論

本実験で得られた知見を列挙すると以下の通りである。

- (1) 本実験では微小酸素電極を用いて水表面近傍領域の詳細なDO濃度分布測定を行った。

(2) 濃度境界層厚さは、 $R_L^{-0.5} \times S_c^{-0.5}$ に比例する。

(3) 本実験範囲内では無次元ガス交換速度も $R_L^{-0.5} \times S_c^{-0.5}$ に比例し、従ってlarge eddyがガス交換に対して支配的であると考えられる。

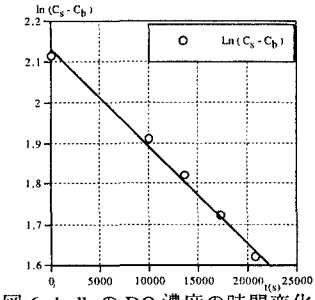


図6. bulk の DO 濃度の時間変化

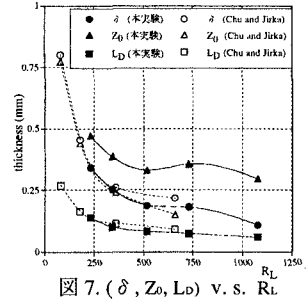


図7. (δ, Z_0, L_D) v.s. R_L

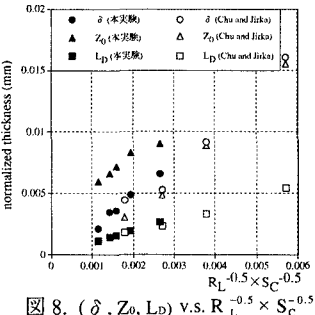


図8. (δ, Z_0, L_D) v.s. $R_L^{-0.5} \times S_c^{-0.5}$

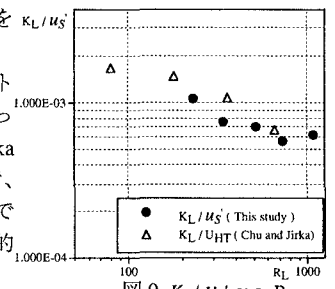


図9. K_L / u_s' v.s. R_L

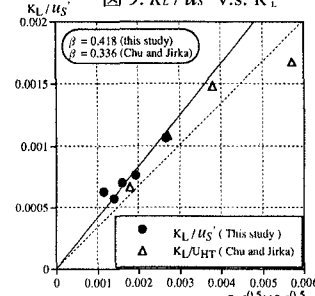


図10. K_L / u_s' v.s. $R_L^{-0.5} \times S_c^{-0.5}$